



# БИООРГАНИЧЕСКАЯ ХИМИЯ

том 9\* № 10\* 1983

УДК 577.112.5:577.352.332

## ПЕРВИЧНАЯ СТРУКТУРА РОДОПСИНА

### I. ПЕПТИДЫ БРОМЦИАНОВОГО РАСЩЕПЛЕНИЯ

*Артамонов И. Д., Золотарев А. С., Костица М. Б.,  
Хорошилова Н. И., Фейгина М. Ю., Абдулаев Н. Г.*

*Институт биоорганической химии им. М. М. Шемякина  
Академии наук СССР, Москва*

Проведено расщепление карбоксиметилированного препарата родопсина бромцианом по остаткам метионина. Полученная смесь пептидов разделена на две группы по растворимости в 2 М хлоргидрате гуанидина. Фракционирование пептидов каждой группы осуществлено гель-фильтрацией на биогеле Р-30 в 80% муравьиной кислоте. Для дальнейшей очистки пептидов применялась рехроматография и высокоеффективная жидкостная хроматография. Выделено 15 бромциановых пептидов, составляющих всю полипептидную цепь молекулы белка. Установлена их полная аминокислотная последовательность.

Зрительные клетки обладают способностью трансформировать энергию кванта света в нервный импульс [1]. Главная роль в реализации этого процесса принадлежит светочувствительному хромопротеиду — родопсину, локализованному в мемbrane фоторецепторных дисков наружных сегментов этих клеток. Светочувствительность родопсина обусловлена наличием в нем в качестве хромофора 11-цис-ретиналя, присоединенного через пропонированную альдиминную связь к ε-аминогруппе одного из лизиновых остатков белка [2].

Имеющиеся в настоящее время данные говорят в пользу того, что первичным звеном в цепи событий, приводящих в конечном итоге к зрительному возбуждению, является индуцированная поглощением кванта света изомеризация 11-цис-ретиналя в полностью-транс-форму. Однако вопрос о механизме сопряжения между фотоизомеризацией ретиналя и рядом процессов (генерация фотопотенциала [3], увеличение проницаемости фоторецепторной мембранны для ионов [4], активация ферментативных систем [5]), а также конкретно о роли самого родопсина во всех этих процессах остается открытым. Это отчасти объясняется отсутствием данных о первичной структуре родопсина и архитектуре его полипептидной цепи в фоторецепторной мемbrane.

Нами определена полная аминокислотная последовательность родопсина из сетчатки глаза быка [6–8]. Настоящее сообщение является первым в серии статей, детально описывающих отдельные этапы установления первичной структуры родопсина, и посвящено изучению продуктов бромцианового расщепления этого белка.

Молекула родопсина состоит из одной полипептидной цепи, большая часть которой локализована в липидном матриксе фоторецепторной мембранны [9]. Величина молекулярной массы родопсина, определенная в различных лабораториях с помощью гель-фильтрации, ультрацентрифугирования и электрофореза в поликариламидном геле (ПЛАГ) в присутствии додецилсульфата натрия (SDS), варьирует в пределах от 28 до 41 кДа [10–12]. Этот разброс является результатом аномального хроматографического и электрофоретического поведения, характерного для родопсина, как и для большинства интегральных мембранных белков [13]. По данным, полученным в нашей лаборатории, молекулярная масса родопсина, определенная с помощью электрофореза в ПЛАГ в присутствии SDS, равна 38 кДа.

Таблица I

## Аминокислотный состав родопсина

Амино-кислота	Число остатков <sup>1*</sup>	Амино-кислота	Число остатков <sup>1*</sup>
Asx	22,6(20)	Met	13,4(16)
Thr	21,3(27)	Ile <sup>3*</sup>	17,4(22)
Ser	13,8(15)	Leu <sup>3*</sup>	28,7(28)
Glx	29,1(29)	Tyr	15,3(18)
Pro	16,3(20)	Phe	30,4(31)
Gly	23,7(23)	His	6,1(6)
Ala	26,9(29)	Lys	12,6(11)
Cys <sup>2*</sup>	9,7(10)	Arg	8,7(7)
Val <sup>3*</sup>	27,4(31)	Trp <sup>1*</sup>	4,8(5)

<sup>1\*</sup> В скобках указано число аминокислотных остатков, исходя из установленной структуры [6].

<sup>2\*</sup> Определено после окисления надмуравьиной кислотой.

<sup>3\*</sup> Результаты 72-часового гидролиза.

<sup>4\*</sup> Определено после гидролиза метансульфоновой кислотой.

N- и C-Концевыми аминокислотными остатками родопсина являются соответственно N-ацетилметионин и аланин [14, 15].

Молекула родопсина содержит две углеводные цепи, присоединенные N-гликозидной связью к остаткам аспартатина в положениях 2 и 15 [16].

Полученные нами результаты аминокислотного анализа родопсина приведены в табл. 1. Аминокислотный состав белка рассчитан на молекулярную массу 38 кДа. Как видно из таблицы, молекула белка отличается высоким содержанием (~65%) неполярных аминокислот. Определение первичной структуры интегральных мембранных белков, характеризующихся высоким содержанием гидрофобных аминокислот, остается до настоящего времени сложной задачей, несмотря на значительные успехи, достигнутые в этой области за последние годы. Склонность к агрегации и низкая растворимость делипидированных препаратов мембранных белков и их фрагментов приводят к необходимости модификации известных классических методик и разработке специальных методических приемов и методологических подходов при их структурном анализе.

В ходе определения первичной структуры родопсина нашли применение методические приемы, разработанные при структурно-функциональном исследовании бактериородопсина [17]. Так, в качестве основного метода фрагментации полипептидной цепи родопсина было выбрано расщепление белка бромцианом по остаткам метионина.

Фоторецепторные мембранны выделяли как описано ранее [18]. Карбоксиметилирование родопсина проводили по методике [19] с некоторыми модификациями. Карбоксиметилированный белок освобождали от липидов, ретиналя и детергента высаживанием 80% этанолом.

Расщепление карбоксиметилированного белка бромцианом проводили в 80% муравьиной кислоте 500-кратным мольным избытком реагента в расчете на метионин. Попытки разделить общую смесь бромциановых пептидов гель-фильтрацией с использованием высоких концентраций наиболее эффективных дезагрегирующих агентов (8 М мочевина, 8 М хлоргидрат гуанидина (Gun·HCl), 80% муравьиная кислота) не дали удовлетворительных результатов. Даже в этих условиях большая часть пептидного материала находилась в агрегированном состоянии и элюировалась со свободным объемом колонки.

Для разделения этих пептидов наиболее эффективным оказался метод, основанный на их предварительном фракционировании путем высаживания из растворов в концентрированном хлоргидрате гуанидина при снижении концентрации последнего до 2 М. При этом общая смесь пептидов была разделена на две группы. Первая группа (нерасторимые пептиды) состояла в основном из четырех крупных, наиболее гидрофобных фрагментов, в то время как вторая группа (расторимые пептиды) содержала сравнительно небольшие, менее гидрофобные фрагменты. Распределение пептидов между этими двумя группами было практически количествен-

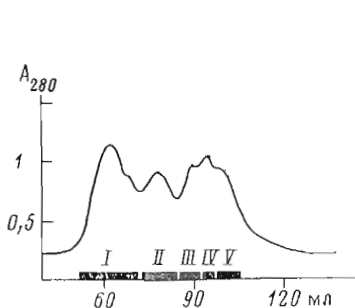


Рис. 1

Рис. 1. Разделение бромциановых пептидов, нерастворимых в 2 М  $\text{GuHCl}$ , на колонке (1,5×100 см) с биогелем P-30 в 80% муравьиной кислоте. Здесь и далее прямоугольники на оси абсциссе – границы объединения фракций

Рис. 2. Разделение фракции V рис. 1  
ВЭЖХ в системе А

Рис. 3. Разделение бромциановых пептидов, растворимых в 2 М  $\text{GuHCl}$ , на колонке (1,5×100 см) с биогелем P-30 в 80% муравьиной кислоте

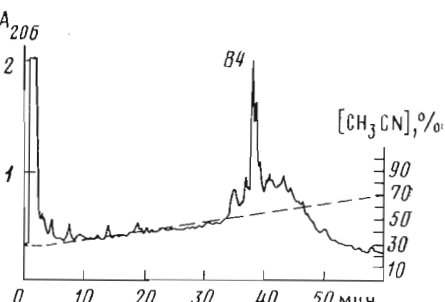


Рис. 2

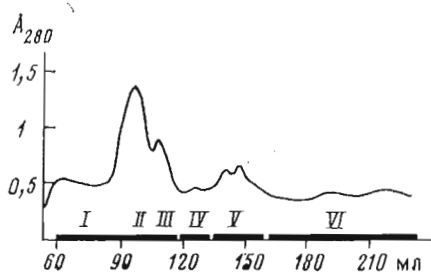


Рис. 3

ным, за исключением пептида B4\*, который был обнаружен как в супернатанте, так и в осадке примерно в одинаковых количествах. Таким образом, этот подход значительно снизил агрегацию фрагментов и позволил добиться не только хорошего разделения пептидов с весьма близкими значениями молекулярной массы, но и облегчил и ускорил их дальнейшую очистку высокоеффективной жидкостной хроматографией (ВЭЖХ).

Разделение пептидов каждой из двух групп осуществляли гель-фильтрацией на колонках с биогелем в 80% муравьиной кислоте. При разделении пептидов первой группы на биогеле P-30 было получено пять фракций (рис. 1). Фракция I содержала агрегаты пептидов и в дальнейшем разделению не подвергалась. Фракции II–V содержали в основном фрагменты B5+B6, B10, B12+B13 и B4 соответственно. Первые два фрагмента были очищены рехроматографией на биогеле P-30, а пептиды B12+B13 и B4 – с помощью ВЭЖХ на колонках с обращенной фазой с использованием градиента концентрации ацетонитрила в 0,1% трифторуксусной кислоте (рис. 2; в этих же условиях время удерживания пептида B12+B13 равно 43 мин.).

Пептиды второй группы после обессоливания также разделяли гель-фильтрацией на биогеле P-30 в 80% муравьиной кислоте (рис. 3). Фракция I, так же как и при разделении пептидов первой группы, содержала агрегированный материал, но в значительно меньшем количестве. Фракции II и IV содержали индивидуальные пептиды B1 и B15 соответственно. Фракция III представляла собой в основном пептид B4, выделенный ранее из смеси пептидов первой группы, и небольшое количество пептида B1. Фракции V и VI состояли из смеси пептидов, которые были разделены ВЭЖХ на колонках с обращенной фазой. Фракция V содержала три пептида: B8, B9 и B13. Для выделения пептидов B8 и B9 был использован градиент концентрации ацетонитрила в 10 мМ ацетате аммония (рис. 4). Пептид B13 удалось выделить ВЭЖХ в системе В (см. «Эксп. часть», время удерживания пептида 48 мин.). Фракция VI содержала шесть небольших пептидов (B2, B3, B6, B7, B11 и B14), которые были разделены ВЭЖХ в градиенте концентрации ацетонитрила в 0,1% трифторуксусной кислоте (рис. 5). Пептиды B6 и B13 были получены с незначительным

\* Нумерация бромциановых пептидов дана в соответствии с порядком их расположения в полипептидной цепи белка [6, 20].

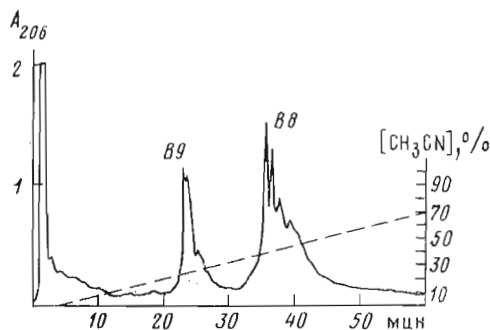


Рис. 4. Разделение фракции V рис. 3 ВЭЖХ в системе С

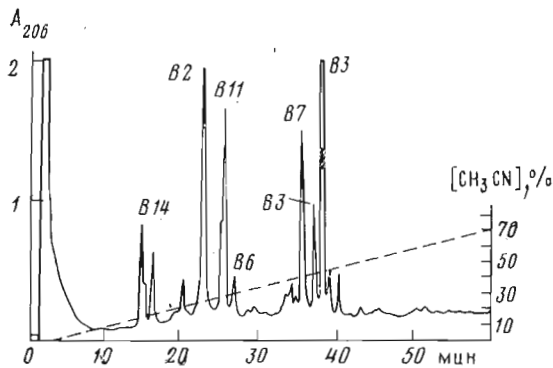


Рис. 5. Разделение фракции VI рис. 3 ВЭЖХ в системе В

выходом ввиду неполного расщепления бромцианом связей Met-Ser и Met-Thr [21, 22]. В качестве основных продуктов, отвечающих данному участку полипептидной цепи белка, были выделены фрагменты B5+B6 и B12+B13, содержащие не расщепленные бромцианом связи Met<sup>143</sup>-Ser и Met<sup>288</sup>-Thr соответственно (см. [20]).

В табл. 2 приведен аминокислотный состав выделенных бромциановых фрагментов.

N-Концевую аминокислотную последовательность пептидов определяли по методу Эдмана с идентификацией аминокислот в виде 1-диметиламинонафталиин-5-сульфонильных производных (Dns), фенилтиогидантоинов (Pth) и 4-N,N-диметиламиноазобензол-4'-тиогидантоинов (Dabth), а C-концевую — с помощью карбоксипептидаз А и В и методом гидразинолиза. N-Концевую последовательность крупных пептидов определяли автоматической деградацией на жидкокристаллических и твердофазных секвенаторах.

Бромциановые пептиды B2, B3, B6, B7, B11, B13 и B14 содержали от четырех до 12 аминокислотных остатков, и установление их структуры не вызвало затруднений. Для определения полной структуры крупных бромциановых фрагментов их дополнительно расщепляли трипсином, химотрипсином, протеиназой из *St. aureus*, пепсином, а также по остаткам тирозина N-бромсукцинимидом или осуществляли ограниченный кислотный гидролиз. Вследствие плохой растворимости пептидов в водных средах ферментативные расщепления в ряде случаев проводили в супензии с использованием высоких (1 : 10) фермент-субстратных соотношений.

Иногда для установления аминокислотной последовательности крупного фрагмента необходимо было проведение трех и более видов гидролиза. Полученные в результате расщепления смеси пептидов разделяли гель-фильтрацией и ВЭЖХ в различных системах.

В ходе структурного анализа бромциановых фрагментов широко использовались данные, полученные в результате установления структуры пептидов, выделенных из различных гидролизатов всей молекулы белка,

Аминокислотный состав пептидов бромцианового расщепления родопсина

Аминокислота	B1	B2	B3	B4	B5+ +B6*	B6	B7	B8	B9	B10 *	B11	B12+B13	B13	B14	B15
Cys (Gln)															
Asp	3,19(3)				4,45(4)	2	4,95(2)	0,96(1)	0,57(1)	1,20(2)	4	0,6(1)	0,63(1)	1,28(2)	
Thr	2,24(2)				3,45(3)	6	1,23(1)	1,30(1)	3,07(3)	2,13(2)		2,30(1)	2,36(3)		
Ser	2,68(3)				1,31(1)	4	1,08(1)	1,31(1)	1,83(2)	2,41(2)		2,23(3)	5,93(6)		
Glu	4,82(5)				2,47(2)	2	1,57(1)	1,31(1)	3,94(4)	1,87(2)	1	1,23(1)	2,13(2)	2,91(3)	
Pro	4,80(5)				2,47(2)	9	1,11(1)	1,14(1)	0,84(1)	1		3,79(4)	1,23(1)	3,34(3)	
Gly	2,91(3)				2,47(2)	4	1,11(1)	1,06(1)	1,72(2)	1,37(1)	1	3,30(3)	1,97(2)	2,41(2)	
Ala	2,24(2)				2,95(3)	7	0,54(1)	0,48(1)	4,43(4)	1	5	6,16(6)	3,14(3)	2,37(2)	
Val 2*	2,93(3)				0,38(4)	0,51(1)	1	0,48(1)	0,48(1)	0,91(1)	6	1,00(4)	1,93(2)	2,38(2)	
Hse	0,42(1)				1,24(1)	1	1,01(1)	1,01(1)	0,40(1)	0,36(1)	1	0,38(1)	0,39(1)	2,76(3)	
Met					2,46(2)	3	9,09(9)	7	1,01(1)	1,31(2)	4	0,7(1)	0,52(1)	0,49(1)	
Ile 2*	1,21(1)				1,40(1)	1,40(1)	1,90(2)	3	1,84(2)	2,21(2)	2	6,69(7)	2,98(3)		
Leu 2*	2,76(3)				3,76(4)	0,54(1)	3,41(3)	8	0,73(1)	2,77(3)	1	1,99(2)	3,81(4)	2,00(2)	
Tyr					1,00(1)	1,07(1)	2,00(2)	1	1,00(1)	4,00(1)	5	6,70(7)	1,80(2)		
Phe					0,79(1)	1,2(1)	1,2(1)	2	1,14(1)	0,87(1)	1	4,01(1)	1,83(2)	0,93(1)	
His					0,72(1)	1	4,00(1)	0,60(1)	1,00(1)	1,00(1)	1	4,00(1)	1,00(1)	1,73(2)	
Lys									0,54(1)	0,54(1)		0,60(1)	1,43(1)		
Arg															
Trp 3*															
Число остатков	38	5	5	37	69	42	8	20	24	46	4	51	20	8	31
N-Концевая	Asn	Leu	Phe	Leu	Val	Ser	Gly	Ala	Gln	Phe	Val	Thr	Asn	Val	
Выход, %	61	69	69	54	35	3	20	35	53	30	60	38	3	20	60

\* Приведен аминокислотный состав, исходя из установленной первичной структуры [6].

\*\* Результаты 72-часового гидролиза.

\*\*\* Определено после гидролиза метансульфоновой кислотой.

Asn-Gly-Thr-Glu-Gly-Pro-Asn-Phe-Tyr-Val-Pro-Phe-Ser-Asn-Lys-Thr-Gly

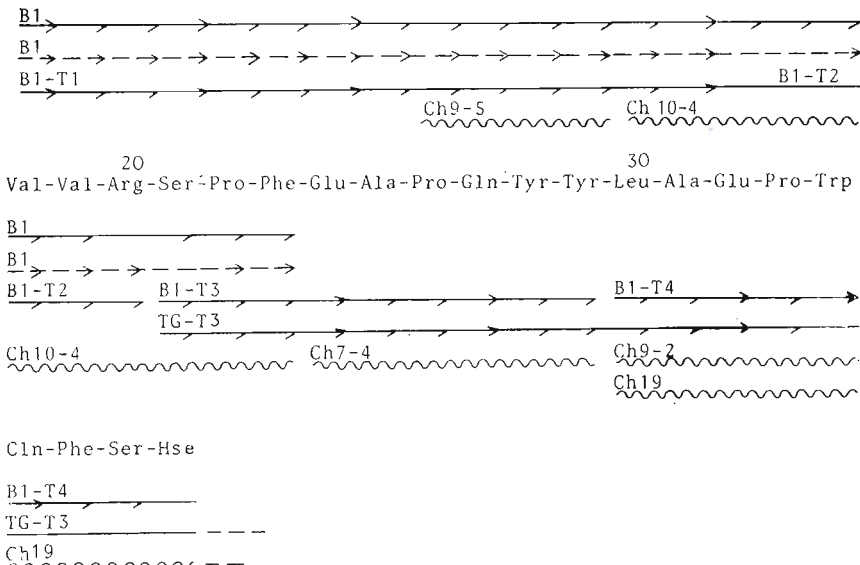


Рис. 6. Структура бромцианового пептида B1. Здесь и далее приняты следующие обозначения: стадии деградации по методу Эдмона с идентификацией аминокислот в виде Dns-производных (—), Dns- и Pth-производных (→), Dabth-производных (↔), неидентифицированные аминокислоты (—), пептиды химотриптического гидролизата апомембран (~~), В — пептиды, полученные после расщепления бромцианом, Т, Ч — пептиды, полученные после гидролиза соответственно трипсином и химотрипсином, TG — пептиды, полученные при расщеплении белка, иммобилизованного на тиолстекле

главным образом из химотриптического гидролизата апомембран фоторецепторных дисков [23].

Ниже приведено описание определения аминокислотной последовательности выделенных бромциановых пептидов.

*Пептид B1 (2–39)* (рис. 6). Деградацией пептида B1 по методу Эдмана найдена последовательность 23 аминокислотных остатков. Для получения дополнительной информации проведен триитиеский гидролиз пептида и из гидролизата методом ВЭЖХ выделены четыре триптических фрагмента (B1-T1–B1-T4), аминокислотный состав которых приведен в табл. 3. Фрагменты B1-T3 и B1-T4 образовались в результате неспецифического расщепления связи Тир-Лей.

Установить порядок расположения фрагментов B1-T3 и B1-T4 удалось в результате определения аминокислотной последовательности пептида TG-T3, выделенного из триптического гидролизата родопсина, иммобилизованного на тиолстекле по тиольным группам остатков цистеина \*. Установленную структуру пептида B1 подтверждают данные, полученные при анализе строения пептидов химотриптического гидролиза апомембран: Ch 9-5, Ch 10-4, Ch 7-4, Ch 9-2, Ch 19 \*\*.

Сравнение структуры бромцианового пептида B1 со структурой пептида Sk-1, имеющего блокированный N-концевой аминокислотный остаток (Ac-Met [14]), полученного после расщепления родопсина BNPS-скатолом по остаткам триптофана [20], позволило однозначно установить, что оба эти фрагмента отвечают N-концевой области полипептидной цепи белка.

Структура пептида B1, установленная нами, совпала с опубликованной ранее [24], за исключением положения остатков Trp<sup>35</sup> и Gln<sup>36</sup>, для которых в указанном сообщении найдена обратная последовательность Gln-Trp.

\* Данные будут опубликованы в отдельном сообщении.

\*\* Здесь и далее обозначения химотриптических пептидов родопсина и данные об их структуре приведены в соответствии с результатами работы [23].

Таблица 3

**Аминокислотный состав триптических фрагментов бромциановых пептидов  
B1 и B4**

Аминокислота	B1-T1	B1-T2	B1-T3	B1-T4	B4-T1	B4-T3
Cys(Cm)						
Asp	3,12(3)				1,31(1)	2,98(3)
Thr	1,21(1)	1,18(1)			1,79(2)	1,06(1)
Ser	1,19(1)		1,20(1)	1,15(1)		
Glu	1,14(1)		2,28(2)	2,13(2)	1,13(1)	
Pro	1,98(2)		2,00(2)	1,00(1)	1,12(1)	1,02(1)
Gly	2,31(2)	1,20(1)			1,34(1)	
Ala			1,15(1)	1,09(1)		1,77(2)
Val *	0,91(1)	1,91(2)			2,35(2)	0,94(1)
Hse				0,39(1)		0,37(1)
Ile *					1,08(1)	0,70(1)
Leu *				0,97(1)	3,34(3)	4,91(5)
Tyr	0,82(1)		1,87(2)		0,80(1)	0,77(1)
Phe	1,98(2)		0,99(1)	0,81(1)	2,00(2)	1,00(1)
His					0,99(1)	
Lys	1,00(1)		1,00(1)		1,33(1)	
Arg		1,00(1)				
Trp **				+ (1)		
Число остатков	15	5	9	9	17	17
N-Концевая	Asn	Thr	Ser	Leu	Leu	Thr

\* Результаты 72-часового гидролиза.

\*\* Триптофан определяли качественно по реакции Эрлиха.

Таблица 4

**Аминокислотный состав пептических пептидов бромцианового фрагмента B5+B6**

Аминокислота	P1	P3	P4	P5	P9	P10	P12
Cys(Cm)				0,58(1)			0,68(1)
Asp				1,14(1)			1,23(1)
Thr		1,23(1)		1,08(1)			
Ser		1,12(1)			1,12(1)		1,05(1)
Glu							
Pro				1,00(1)			
Gly	2,31(2)		1,21(1)	2,30(2)			1,10(1)
Ala							
Val *	0,87(1)			1,11(1)		1,83(2)	2,78(3)
Hse							
Met							0,81(1)
Ile *							
Leu *		1,00(1)			1,08(1)	1,15(1)	
Tyr		0,82(1)	0,89(1)				
Phe	2,00(2)		1,00(1)	1,05(1)			0,98(1)
His			0,97(1)				
Lys							1,00(1)
Arg							
Trp **				+ (1)			
Число остатков	5	4	4	8	3	3	10
N-Концевая	Val	Tyr	His	Val	Trp	Val	Val

Примечание. См. сноски в табл. 3.

*Пептид B2 (40–44). Leu-Ala-Ala-Tyr-Hse.*

*Пептид B3 (45–49). Phe-Leu-Leu-Ile-Hse.*

*Пептид B4 (50–86) (рис. 7).* Автоматической деградацией пептида определена последовательность 24 аминокислотных остатков. Попытки охарактеризовать C-концевую область пептида с помощью карбоксипептидаз оказались безуспешными из-за низкой растворимости пептида в водных буферных системах, пригодных для проведения ферментативного

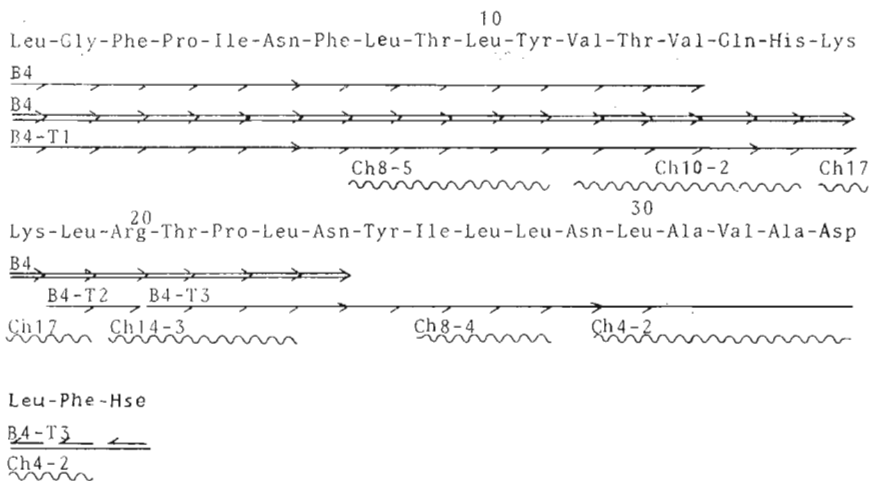


Рис. 7. Структура бромцианового пептида B4. Здесь и далее приняты следующие обозначения: стадии деградации с помощью суккенатора ( $\Rightarrow$ ), расщепление карбоксипептидазой А ( $\leftarrow$ )

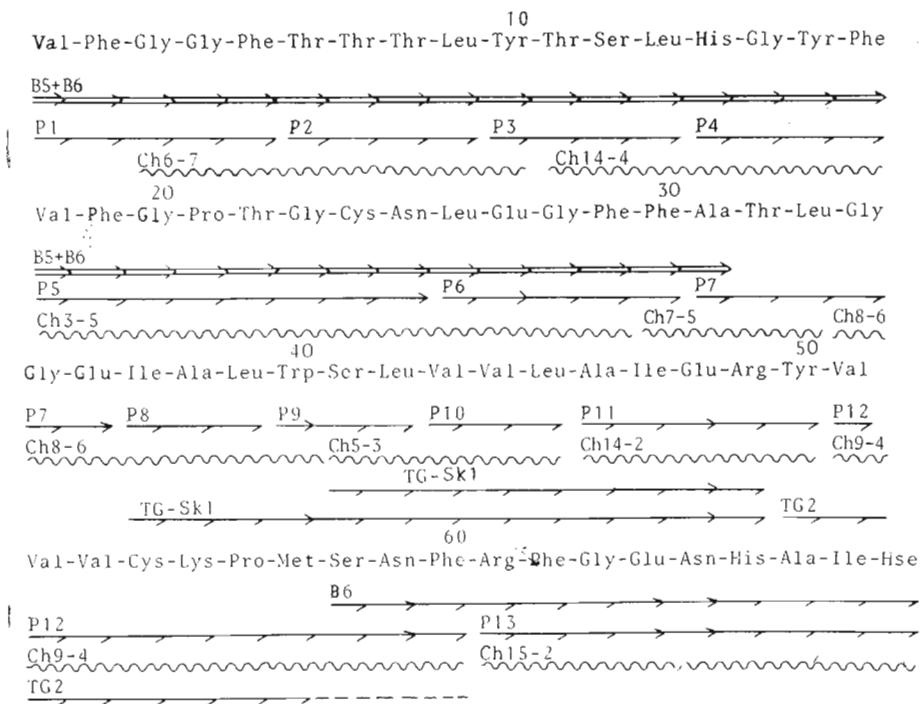


Рис. 8. Структура бромцианового пептида B5+B6. Р, Sp – пептиды, полученные после гидролиза соответственно пепсином и протеиназой из *St. aureus*; Sk – пептиды, полученные после расщепления BNPS-скатолом

гидролиза. Однако в качестве дополнительного метода фрагментации удалось осуществить гидролиз пептида трипсином (в суспензии при интенсивном перемешивании в течение 16 ч, выход продуктов 15%). Полученный гидролизат разделяли на осадок и супернатант и из супернатанта гель-фильтрацией на биогеле Р-6 в 0,1 н. бикарбонате аммония выделяли дипептид Leu-Arg (B4-T2) и свободный лизин. Осадок растворяли в 10%  $\text{CH}_3\text{COOH}$  и хроматографировали на биогеле Р-10, что позволило выделить наряду с исходным пептидом B4 два триптических фрагмента B4-T1 и B4-T3, аминокислотный состав которых приведен в табл. 3.

Завершив установление структуры пептида B4 позволили результаты

определения структуры пептида Ch4-2, выделенного из супернатанта химотриптического гидролизата апомембран.

*Пептид B5+B6 (87–155)* (рис. 8) является самым крупным фрагментом бромцианового расщепления родопсина и содержит плохо расщепляемую бромцианом связь Met<sup>143</sup>-Ser. При автоматической деградации этого пептида получена информация о последовательности 31 аминокислотного остатка. Попытки расщепить пептид трипсином оказались безуспешными. Однако удалось провести гидролиз пептида B5+B6 пепсином в жестких условиях. Аминокислотный состав пептидов, выделенных в индивидуальном состоянии (см. рис. 9), приведен в табл. 4. Три фракции представляли собой парные смеси (P2+P7, P6+P8, P11+P13). Структура пептидов всех фракций определена деградацией по методу Эдмана, причем данные о структуре бромцианового пептида B6 (см. ниже) и N-концевой последовательности исходного пептида B5+B6 позволили установить аминокислотную последовательность смесевых фракций без их дальнейшего разделения.

Перекрытия между отдельными пептидическими фрагментами получены в результате определения строения ряда пептидов химотриптического гидролизата апомембран (Ch6-7, Ch14-4, Ch3-5, Ch7-5, Ch8-6, Ch5-3). Для получения недостающих перекрытий в пептиде B5+B6 использовали расщепление родопсина, иммобилизованного на тиолстекле (см. выше). После обработки иммобилизованного белка трипсином, а затем BNPS-скатолом выделен пептид TG-Sk1, после последовательной обработки трипсином, протеиназой из *St. aureus* — пептид TG-Sp1, а после гидролиза трипсином, протеиназой из *St. aureus* и химотрипсином — цистеинодержащий пептид TG2.

На основании совокупности приведенных результатов была установлена полная аминокислотная последовательность пептида B5+B6.

*Пептид B6 (144–155)* Ser-Asn-Phe-Arg-Phe-Gly-Clu-Asn-His-Ala-Ile-Hse.

*Пептид B7 (156–163)*. Gly-Val-Ala-Phe-Thr-Trp-Val-Hse.

*Пептид B8 (164–183)* (рис. 10). Методом Эдмана идентифицировано 15 аминокислотных остатков. Для получения дополнительной структурной информации проведен гидролиз пептида B8 химотрипсином. Методом ВЭЖХ выделено четыре химотриптических фрагмента: B8-Ch1, B8-Ch2, B8-Ch3, B8-Ch4 (см. табл. 5). Определение структуры полученных химотриптических фрагментов дало возможность установить полную аминокислотную последовательность бромцианового пептида B8. Следует отметить, что структура химотриптических фрагментов пептида B8 (B8-Ch1, B8-Ch3, B8-Ch4) совпадает со структурой химотриптических фрагментов апомембран Ch3-4, Ch16, Ch3-2 соответственно.

*Пептид B9 (184–207)* (рис. 11). Для определения структуры пептида B9 потребовалось проведение двух дополнительных расщеплений — гидролиза химотрипсином (B9-Ch) и ограниченного кислотного гидролиза (B9-A). Полученные продукты разделяли методом ВЭЖХ, аминокислотный состав выделенных фрагментов приведен в табл. 5. Пептид B9 не содержал свободной  $\alpha$ -аминогруппы, поэтому его N-концевую последовательность определяли с помощью пептидов химотриптического гидролиза

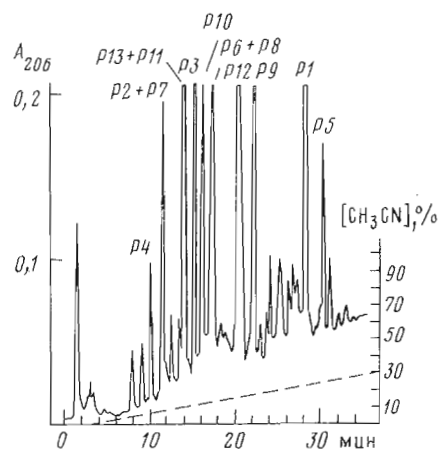


Рис. 9. Разделение пептидов, полученных при гидролизе пепсином бромцианового фрагмента B5+B6, ВЭЖХ в системе С

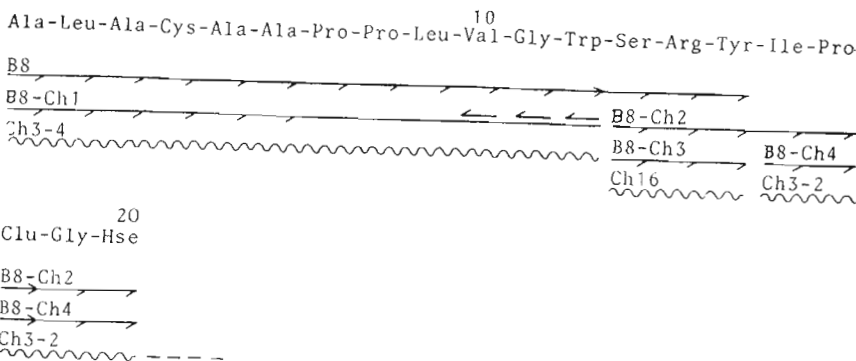


Рис. 10. Структура бромцианового пептида B8

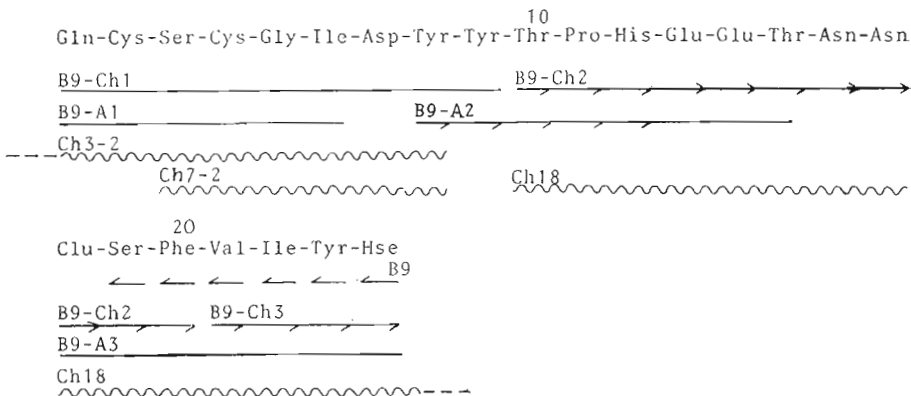


Рис. 11. Структура бромцианового пептида B9. А – пептиды, полученные после ограниченного кислотного гидролиза

апомембран (Ch7-2, Ch3-2). Результаты определения строения мебраносвязанного химотриптического фрагмента Ch18 дали дополнительную информацию для завершения реконструкции полной аминокислотной последовательности пептида B9.

*Пептид B10 (208–253)* (рис. 12). При автоматической деградации пептида получена информация о последовательности 27 аминокислотных остатков. Пептид подвергали химическому расщеплению по единственному остатку тирозина N-бромсукцинимидом. Однако результаты установления частичного строения пептидов B10-NBS1 и B10-NBS2 позволили только подтвердить уже известную N-концевую последовательность пептида B10.

Из супернатанта химотриптического гидролизата апомембран были выделены пептиды Ch10-1 и Ch5-4, определение структуры которых позволило удлинить известную N-концевую последовательность до 37 аминокислотных остатков.

Полная структура пептида B10 установлена после определения автоматической деградацией N-концевой аминокислотной последовательности фрагмента F2, образующегося при расщеплении нативных мембран термомицином [25].

*Пептид B11 (254–257). Val-Ile-Phe-Hse.*

*Пептид B12+B13 (258–308)* (рис. 13). При установлении структуры фрагмента использовали метод Эдмана с применением 4-N,N-диметиламиноазобензол-4'-изотиоцаната, дающий оптимальные результаты при структурном анализе крупных гидрофобных пептидов. С использованием этого реагента анализировались N-концевые последовательности целого фрагмента B12+B13, а также пептидов Sk3 и F2-A1, полученных соответственно в результате расщепления белка BNPS-скатолом и после ограниченного кислотного гидролиза фрагмента F2 [20]. Фрагмент B12+B13

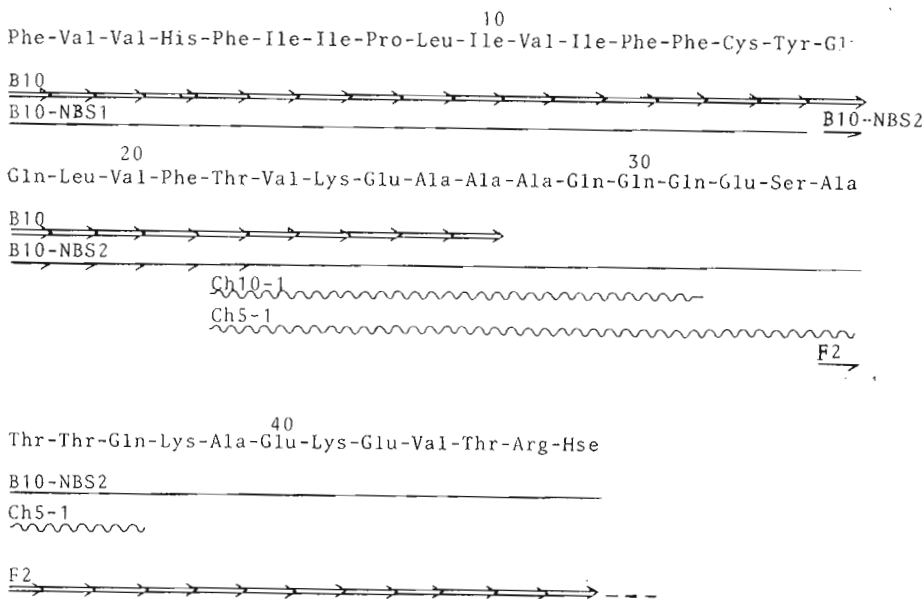


Рис. 12. Структура бромцианового пептида B10. NBS – пептиды, полученные после расщепления N-бромсукцинимидом; F2 – фрагмент, полученный при расщеплении термолизином нативных фоторецепторных мембран

содержал плохо расщепляемую бромцианом связь Met<sup>288</sup>-Thr, однако из смеси бромциановых пептидов родопсина методом ВЭЖХ был выделен с незначительным выходом пептид B13, для которого методом Эдмана установлена последовательность 16 N-концевых аминокислотных остатков. Вывод о строении C-концевой области пептида B13 сделан на основании кипетических данных по расщеплению пептида карбоксипептидазой А. Полученные результаты в совокупности с данными о строении пептидов химотриптического гидролиза апомембран (Ch12-1, Ch12-3, Ch11, Ch6-6, Ch10-3) позволили полностью завершить реконструкцию структуры фрагмента B12+B13.

*Пептид B14 (310–317). Asn-Lys-Gln-Phe-Arg-Asn-Cys-Hse.*

*Пептид B15 (318–348)* (рис. 14) не содержит в своем составе остатка гомосерина. Методом гидразинолиза показано, что его C-коцевым аминокислотным остатком, так же как и всей молекулы белка [15], является аланин. Таким образом, пептид B15 представляет собой C-концевой фрагмент родопсина. Деградацией по методу Эдмана установлена последовательность первых 11 аминокислотных остатков. Для установления полной структуры пептида проведен его гидролиз трипсином. Гидролизат разделен методом ВЭЖХ, аминокислотный состав выделенных триптических фрагментов B15-T1 – B15-T3 приведен в табл. 6. Перекрытия между триптическими фрагментами найдены с помощью пептидов химотриптического гидролиза апомембран (Ch3-4, Ch8-2).

Таким образом, в результате расщепления родопсина бромцианом по остаткам метионина и разделения образовавшейся смеси пептидов были выделены все бромциановые фрагменты, составляющие полипептидную цепь белка [6, 20]. Установление аминокислотной последовательности бромциановых пептидов дало основную информацию о структуре полипептидной цепи родопсина.

### Экспериментальная часть

В работе использованы трипсин, химотрипсин, пепсин, карбоксипептидазы А и В (Worthington, США), протеиназа из *Staphylococcus aureus* (Miles, Англия), бромциан, N-бромсукцинимид (Pierce, США), ацетонитрил (Merck, ФРГ).

Таблица 5

**Аминокислотный состав химотриптических фрагментов бромциановых пептидов B8 и B9 и продуктов ограниченного кислотного гидролиза пептида B9**

Аминокислота	B8-Ch1	B8-Ch2	B8-Ch3	B8-Ch4	B9-Ch1	B9-Ch2	B9-Ch3	B9-A1	B9-A2	B9-A3
Cys(Cm)	0,56(1)				1,29(2)			1,37(2)		
Asp					1,11(1)	2,22(2)				
Thr						1,83(2)				
Ser		1,04(1)	1,31(1)		1,30(1)	1,44(1)		1,23(1)	2,30(2)	1,25(1)
Glu		1,18(1)			1,14(1)	1,13(1)	3,20(3)	1,09(1)	2,15(2)	1,40(1)
Pro	2,14(2)	1,03(1)			1,00(1)				1,00(1)	
Gly	1,31(1)	1,06(1)			1,09(1)	1,24(1)		1,34(1)		
Ala	4,03(4)									
Val*	1,34(1)						0,86(1)			0,99(1)
Hse		0,41(1)			0,47(1)		0,46(1)			0,36(1)
Ile*		0,91(1)			0,89(1)	0,98(1)		0,89(1)	0,95(1)	1,01(1)
Leu*	2,03(2)									
Tyr		0,69(1)	0,78(1)			1,78(2)		0,91(1)	1,71(2)	0,89(1)
Phe							4,00(1)			
His							0,92(1)			
Lys									0,98(1)	
Arg		1,00(1)	1,00(1)							
Trp**	+ (1)									
Число остатков	12	8	3	5	9	11	4	6	8	6
N-Концевая	Ala	Ser	Ser	Ile	Gln	Thr	Val	Gln	Tyr	Glu

Примечание. См. сноски в табл. 3.

Таблица 6

**Аминокислотный состав триптических фрагментов бромцианового пептида B15**

Аминокислота	B15-T1	B15-T2	B15-T3
Cys(Cm)	1,28(2)		
Asp		2,63(3)	
Thr	1,68(2)	1,82(2)	1,97(2)
Ser		1,84(2)	1,12(4)
Glu		1,29(1)	1,90(2)
Pro		0,79(1)	1,00(1)
Gly	1,25(1)	1,24(1)	
Ala		1,14(1)	2,25(2)
Val*	0,71(1)	0,78(1)	1,12(1)
Hse			
Ile*			
Leu*	1,16(1)	0,93(1)	
Tyr			
Phe			
His			
Lys	1,00(1)	1,00(1)	
Arg			
Trp**			
Число остатков	8	14	9
N-Концевая	Val	Asn	Thr

Примечание. См. сноски в табл. 3.

Фоторецепторные мембранны из наружных сегментов палочек глаз были выделяли по методике [18]. Количество родопсина в мембранны определяли спектрофотометрически, принимая молярный коэффициент поглощения равным  $42\ 000\text{ M}^{-1}\text{ cm}^{-1}$  [26] при  $\lambda = 500\text{ nm}$ . Спектральный критерий чистоты полученных препаратов мембран  $A_{278}/A_{500}$  составлял 2,0–2,4.

Молекулярную массу родопсина определяли с помощью электрофореза в ПААГ в присутствии SDS [27], используя градиентные поликарбамид-

Val-Ile-Ala-Phe-Leu-Ile-Cys-Trp-Leu-Pro-Tyr-Ala-Gly-Val-Ala-Phe-Tyr

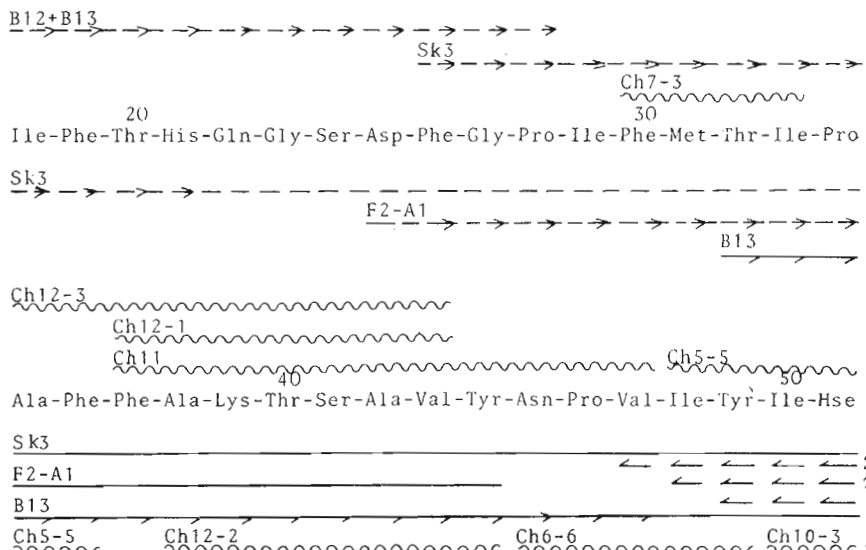


Рис. 13. Структура бромцианового пептида B12+B13

ные пластиинки РАА  $\frac{1}{30}$  и прибор GE-4 (Pharmacia, Швеция). Образцы инкубировали как описано [28].

*Карбоксиметилирование родопсина* проводили по методике [19] с некоторыми изменениями. Осадок фоторецепторных мембран (2 мкмоль, белка) растворяли в 3 мл буфера, содержащего 4,5 мМ трис-HCl, pH 8,6, и 12% SDS, к раствору добавляли 77,15 мг дитиотреита (25-кратный избыток на SH-группу), 0,3 мл раствора EDTA (50 мг/мл) и объем доводили до 8 мл. Раствор инкубировали 16 ч, затем добавляли 268 мг иодукусной кислоты в 1 мл 1 н. NaOH (20-кратный избыток на SH-группу) и реакцию проводили в течение 6 ч в темноте. Реакцию останавливали добавлением 1 мл 2-меркаптоэтанола и реакционную смесь инкубировали в темноте еще 20 мин, затем диализовали против воды ( $5 \text{ л} \times 3$ ) в течение 16 ч. После диализа к раствору добавляли холодный ( $4^\circ \text{C}$ ) этанол до его конечной концентрации 80%. Выпавший осадок центрифугировали при 3000 g 30 мин и трижды промывали холодным раствором 80% этанола и абсолютным этанолом.

*Расщепление карбоксиметилированного опсина бромцианом.* Осадок карбоксиметилированного опсина растворяли в 4 мл 99,7% муравьиной кислоты и разбавляли водой до конечной концентрации 80%. К раствору добавляли 1,7 г бромциана (500 моль на 1 моль Met) и проводили расщепление в течение 24 ч в темноте при  $20^\circ \text{C}$ . Смесь пептидов упаривали досуха, растворяли в 1 мл 99,7% муравьиной кислоты и добавляли 3 г хлоргидрата гуанидина. Смесь высушивали в токе азота и затем на лиофильной сушке. К сухому осадку по каплям при энергичном растирании добавляли воду до полного растворения (конечный объем раствора 3,9 мл). Полученный раствор разбавляли в три раза водой. Выпавший осадок центрифугировали при 3000 g в течение 30 мин. Осадок дважды промывали водой и растворяли в 4,5 мл 99,7% муравьиной кислоты (пептиды первой группы). Супернатант освобождали от хлоргидрата гуанидина на колонке ( $25 \times 40 \text{ см}$ ) с биогелем P-2 (Bio-Rad, США, -400 меш) в 80% муравьиной кислоте. Пептидную фракцию упаривали до объема 1,5 мл (пептиды второй группы).

*Разделение бромциановых пептидов* обеих групп осуществляли гель-фильтрацией на колонке ( $1,5 \times 100 \text{ см}$ ) с фракционированным биогелем P-30 (Bio-Rad, США, -400 меш; использовалась фракция, оседавшая на 30 мин при высоте водного столба 18 см), уравновешенным 80% муравьин-

10  
Val-Thr-Thr-Leu-Cys-Cys-Gly-Lys-Asn-Pro-Leu-Gly-Asp-Asp-Glu-Ala-Ser

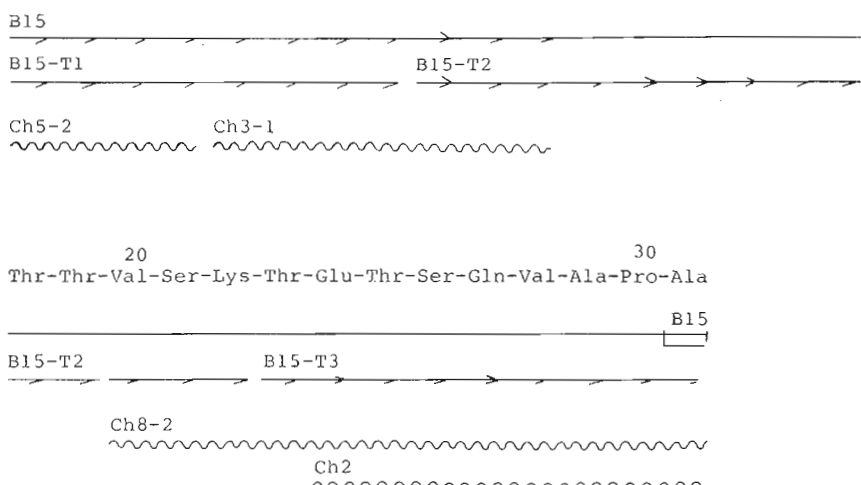


Рис. 14. Структура бромцианового пептида B15. Определение C-концевого аминокислотного остатка методом гидразинолиза (—!—)

ной кислотой. Детектировали пептиды с помощью Uvicord II (LKB, Швеция) по поглощению при 280 нм. Элюят собирали фракциями по 3 мл/ч.

*Высокоэффективную жидкостную хроматографию* пептидов проводили на хроматографе Altex, модель 322 (Altex, США) с проточным спектрофотометром Hitachi, модель 100-40 (Япония). При разделении использовали колонки  $0,46 \times 25$  см и следующие хроматографические системы: A) носитель Nucleosil C<sub>8</sub> (диаметр частиц 7,5 мкм, Macherey-Nagel, ФРГ), градиент концентрации ацетонитрила от 28 до 70% в 0,1% трифтормукусной кислоте (время изменения градиента 1 ч), скорость элюции 1 мл/мин; B) носитель LiChrosorb RP-18 (диаметр частиц 10 мкм, Merck, ФРГ), градиент концентрации ацетонитрила от 0 до 70% в 0,1% трифтормукусной кислоте (время изменения градиента 1 ч), скорость элюции 1 мл/мин; C) носитель Silasorb C<sub>18</sub> (диаметр частиц 10 мкм, Lachema, ЧССР), градиент концентрации ацетонитрила от 0 до 70% в 10 мМ ацетате аммония, pH 5,7 (время изменения градиента 1 ч), скорость элюции 2 мл/мин. Пептиды детектировали спектрофотометрически ( $\lambda$  206 нм). Аналитические опыты проводили, используя 1–2 нмоль пептидного материала. Образец вводили в виде раствора в 80% муравьиной кислоте.

*Триптический и химотриптический гидролизы бромциановых пептидов.* К 0,1 мкмоль пептида в 0,3 мл 0,1 М бикарбоната аммония (pH 8,4) добавляли фермент в фермент-субстратном соотношении 1:50 (по весу). Реакционную смесь выдерживали при 37°C 2 ч, затем добавляли такую же порцию фермента и инкубировали в течение еще 2 ч. По окончании реакции гидролизат подкисляли уксусной кислотой и хранили при -10°C.

В случае пептида B4 триптический гидролиз проводили при интенсивном перемешивании в течение 16 ч.

*Ограниченный кислотный гидролиз пептида B9.* 0,05 мкмоль пептида суспендировали в 0,2 мл 0,03 н. HCl и инкубировали 16 ч в вакуумированной ампуле при 110°C.

*Расщепление пепсином пептида B5+B6.* 0,2 мкмоль пептида растворяли в 0,1 мл 99,7% муравьиной кислоты. К полученному раствору постепенно добавляли 0,9 мл 1 мМ NaCl. Гидролиз проводили при фермент-субстратном соотношении 1:10 при 20°C в течение 24 ч. Гидролизат упаривали досуха.

*Расщепление N-бромсукцинидом пептида B10.* 0,05 мкмоль пептида суспендировали в 0,5 мл 50% уксусной кислоты, добавляли равный объем раствора N-бромсукцинида (0,07 мг, 10-кратный мольный избыток) в ледяной уксусной кислоте. Смесь выдерживали при 20°C 16 ч в темноте при перемешивании, затем упаривали досуха.

Деградацию пептидов по методу Эдмана с идентификацией аминокислот в виде Dns-производных проводили как описано в сообщении [29].

Триптофан, дикарбоновые кислоты и их амиды определяли в виде Pth-производных [30].

Деградацию пептидов по методу Эдмана с использованием 4-N,N-диметиламиноазобензол-4'-изотиоцианата осуществляли по методу [31].

С-Концевую последовательность пептидов определяли с помощью карбоксипептидаз А и В [32] и методом гидразинолиза [33].

Автоматическую деградацию пептидов осуществляли на жидкокристаллическом секвенаторе 890 С (Beckman, США) по программе 102 974 и на твердофазном секвенаторе APS 240 (Rank Hilger, Англия); идентификацию Pth-производных проводили как описано в сообщении [34].

Аминокислотный анализ белка и пептидов (условия гидролиза см. [29]) выполняли на аминокислотных анализаторах D-500 (Durrum, США) и Biotronik LC-7000 (Biotronik, ФРГ).

Авторы приносят глубокую благодарность акад. Ю. А. Овчинникову за ценные советы и помощь при выполнении данной работы.

## ЛИТЕРАТУРА

1. Wald G. Science, 1968, v. 162, № 3850, p. 230–239.
2. Bownds D. Nature, 1967, v. 216, № 5121, p. 1178–1181.
3. Drachev L. A., Kalamkarov G. R., Kaulen A. D., Ostrovsky M. A. Eur. J. Biochem., 1981, v. 117, № 3, p. 471–481.
4. Hagins W. A. Ann. Rev. Biophys. Bioeng., 1972, v. 1, p. 131–158.
5. Fung B. K.-K., Hurley J. B., Strayer L. Proc. Nat. Acad. Sci. USA, 1981, v. 78, № 4, p. 152–156.
6. Овчинников Ю. А., Абдулаев Н. Г., Фейгина М. Ю., Артамонов И. Д., Золотарев А. С., Костина М. Б., Богачук А. С., Мирошников А. И., Мартынов В. И., Куделин А. В. Биоорган. химия, 1982, т. 8, № 10, с. 1424–1427.
7. Ovchinnikov Yu. A. FEBS Lett., 1982, v. 148, № 2, p. 179–191.
8. Abdulaev N. G., Artamonov I. D., Bogachuk A. S., Zolotarev A. S., Kostina M. B., Kudelin A. B., Martinov V. I., Miroshnikov A. I., Feigina M. Yu., Ovchinnikov Yu. A. Biochem. International, 1982, v. 5, № 6, p. 693–703.
9. Litman B. J. Photochem. and Photobiol., 1979, v. 29, p. 671–677.
10. Hubbard R. J. Gen. Physiol., 1954, v. 37, № 3, p. 381–399.
11. Frank R. N., Rodbard D. Arch. Biochem. and Biophys., 1975, v. 171, № 1, p. 1–13.
12. Heller J. Biochemistry, 1968, v. 7, № 8, p. 2906–2913.
13. Helenius A., Simons K. Biochim. et biophys. acta, 1975, v. 415, № 1, p. 29–79.
14. Tsunasawa S., Narita K., Shichi H. Biochim. et biophys. acta, 1980, v. 624, № 1, p. 218–225.
15. Hargrave P. A., Fong S.-L. J. Supramol. Struct., 1977, v. 6, p. 559–570.
16. Hargrave P. A. Biochim. et biophys. acta, 1977, v. 492, № 1, p. 83–94.
17. Ovchinnikov Yu. A., Abdulaev N. G., Feigina M. Yu., Kiselev A. V., Lobanov N. A. FEBS Lett., 1979, v. 100, № 2, p. 219–224.
18. Шевченко Т. Ф., Каламкаров Г. Р., Островский М. А. Биофизика, 1980, т. 25, вып. 3, с. 462–468.
19. Crestfield A. M., Moor S., Stein W. H. J. Biol. Chem., 1963, v. 238, № 2, p. 622–627.
20. Овчинников Ю. А., Абдулаев Н. Г., Фейгина М. Ю., Артамонов И. Д., Богачук А. С., Золотарев А. С., Еганян Е. Р., Костецкий П. В. Биоорган. химия, 1983, т. 9, № 10, с. 1331–1340.
21. Schroder W. A., Shelton J. B., Shelton G. R. Arch. Biochem. and Biophys., 1969, № 1–2, p. 551–556.
22. Narita K., Titani K. J. Biochem., 1968, v. 63, № 2, p. 226–241.
23. Золотарев А. С., Мигалева С. И., Шемякин В. В., Костина М. Б., Фейгина М. Ю., Абдулаев Н. Г. Биоорган. химия, 1983, т. 9, № 10, с. 1317–1330.
24. Hargrave P. A., Fong S.-L., McDowell J. H., Mas M. T., Curtis D. R., Wand J. K., Juszczak E. Neurochem. Int., 1980, v. 1, p. 231–244.
25. Мартынов В. И., Костина М. Б., Фейгина М. Ю., Мирошников А. И. Биоорган. химия, 1983, т. 9, № 6, с. 734–745.
26. Shichi H., Lewis M. S., Irreverre F., Stone A. L. J. Biol. Chem., 1969, v. 244, № 3, p. 529–536.
27. Weber K., Osborn M. J. Biol. Chem., 1969, v. 244, № 16, p. 4406–4412.
28. Papermaster D. S., Dreyer W. J. Biochemistry, 1974, v. 13, № 11, p. 2438–2444.
29. Гринкевич В. А., Арзамазова Н. М., Поганенко Н. А., Гринкевич Х. А., Красченко З. Б., Фейгина М. Ю., Альданова Н. А. Биоорган. химия, 1979, т. 5, № 12, с. 1757–1774.
30. Chen K. Hoppe-Seyler's Z. Physiol. Chem., 1976, B. 357, № 6, S. 873–886.
31. Chang J. Y., Branci D., Wittman-Liebold B. FEBS Lett., 1978, v. 93, № 2, p. 205–214.
32. Ambler R. P. Methods in Enzymol., 1972, v. 25, p. 143–154, 262–272.

33. Mesrob B., Holeysovsky V. Collect. Czech. Chem. Commun., 1967, v. 32, № 5, p. 1976-1982.  
34. Гринкевич В. А., Арзамазова Н. М., Гринкевич Х. А., Акименко З. А., Мороз И. И., Назимов И. В., Алданова И. А. Биоорганическая химия, 1979, т. 5, № 12, с. 1775-1781.

Поступила в редакцию  
27.IV.1983

## PRIMARY STRUCTURE OF RHODOPSIN. I. CYANOGEN BROMIDE PEPTIDES

ARTAMONOV I. D., ZOLOTAREV A. S., KOSTINA M. B.,  
KHOROSHILOVA N. I., FEIGINA M. Yu., ABDULAEV N. G.

*M. M. Shemyakin Institute of Bioorganic Chemistry, Academy  
of Sciences of the USSR, Moscow*

Carboxymethylated bovine rhodopsin was subjected to cyanogen bromide cleavage at methionine residues. The resultant products were fractionated into the two groups according to the solubility of peptides in 2 M guanidine hydrochloride. Gel-filtration on Bio-Gel P-30 in 80% formic acid of each group followed by rechromatography and high performance liquid chromatography resulted in 15 peptides embracing the whole polypeptide chain of rhodopsin. Amino acid sequence of these peptides was determined.